

# Nonlinear longitudinal current, generated by two transversal electromagnetic waves in collisionless plasma

A. V. Latyshev\*, A. A. Yushkanov\*, O. D. Algazin\*\*, A. V. Kopaev\*\*, V. S. Popov\*\*

\* *Moscow State Regional University*

\*\* *Bauman Moscow State Technical University*

Classical plasma with any degree degeneration of electronic gas is considered. In plasma two external electromagnetic field are propagation. It is required to find the plasma response on these fields. From kinetic Vlasov equation for collisionless plasmas distribution function in square-law approximation on sizes of intensivities of two electric fields is received.

The formula for calculation electric current at any temperature (any degree of degeneration electronic gas) is deduced. This formula contains an one-dimensional quadrature.

It is shown, that the nonlinearity account leads to occurrence the longitudinal electric current directed along a wave vector. This longitudinal current is perpendicular to known transversal classical current, received at the linear analysis.

The case of small values of wave number is considered. Graphic comparison of dimensionless size of the current depending on wave number and frequency of oscillation of the electromagnetic fields is carry out.

## ВВЕДЕНИЕ

В настоящей работе выводятся формулы для вычисления электрического тока в бесстолкновительной плазме Ферми—Дирака.

При решении кинетического уравнения Власова, описывающего поведение плазмы, мы учитываем как в разложении функции распределения, так и в разложении величины самосогласованного электромагнитного поля величины, пропорциональные квадратам напряженностей внешних электрических полей и их произведению.

При таком нелинейном подходе оказывается, что электрический ток имеет две ненулевые компоненты. Одна компонента электрического тока направлена вдоль напряженности электрического поля. Эта компонента электрического поля точно такая же, как и в линейном анализе. Это "поперечный" ток. Таким образом, в линейном приближении мы получаем известное выражение поперечного электрического тока.

Вторая ненулевая компонента электрического тока имеет второй порядок малости относительно величин напряженностей электрических полей. Вторая компонента электрического тока направлена вдоль волнового вектора. Этот ток ортогонален первой компоненте. Это "продольный" ток.

Появление продольного тока выявляется проведенным нелинейным анализом взаимодействия электромагнитных полей с плазмой.

Нелинейные эффекты в плазме изучаются уже длительное время [1]–[7].

В работах [1] и [3] изучаются нелинейные эффекты в плазме. В работе [3] нелинейный ток использовался, в частности, в вопросах вероятности распадных процессов. Отметим, что в работе [2] указывается на существование нелинейного тока вдоль волнового вектора (см. формулу (2.9) из [2]).

Квантовая плазма изучалась в работах [7]– [20]. Столкновительная квантовая плазма начала изучаться в работе Мермина [14]. Затем квантовая столкновительная плазма изучалась в наших работах [15]– [18]. Нами изучалась квантовая столкновительная плазма с переменной частотой столкновений. В работах [19] – [21] было исследовано генерирование продольного тока поперечным электромагнитным полем в классической и квантовой плазме Ферми–Дирака [19], в максвелловской плазме [20] и в вырожденной плазме [21].

Укажем еще на ряд работ по плазме, в том числе и квантовой. Это работы [8]– [13].

В настоящей работе выводятся формулы для вычисления электрического тока в бесстолкновительной плазме при произвольной температуре, то-есть при произвольной степени вырождения электронного газа.

## 1 УРАВНЕНИЕ ВЛАСОВА

Покажем, что в случае классической плазмы, описываемой уравнением Власова, генерируется продольный ток и вычислим его плотность. На существование этого тока указывалось более полувека тому назад [2].

Возьмем уравнение Власова, описывающее поведение бесстолкно-

тельной плазмы

$$\frac{\partial f}{\partial t} + \mathbf{v} \frac{\partial f}{\partial \mathbf{r}} + e \left( \mathbf{E}_1 + \mathbf{E}_2 + \frac{1}{c} [\mathbf{v}, \mathbf{H}_1 + \mathbf{H}_2] \right) \frac{\partial f}{\partial \mathbf{p}} = 0. \quad (1.1)$$

В уравнении (1.1)  $f$  – функция распределения электронов плазмы,  $\mathbf{E}_j, \mathbf{H}_j$  ( $j = 1, 2$ ) – компоненты электромагнитного поля,  $c$  – скорость света,  $\mathbf{p} = m\mathbf{v}$  – импульс электронов,  $\mathbf{v}$  – скорость электронов, функция распределения электронов Ферми–Дирака,  $f^{(0)} = f_{eq}(\mathbf{r}, v)$  ( $eq \equiv equilibrium$ ) – локально равновесное распределение Ферми–Дирака,

$$f_{eq}(\mathbf{r}, v) = \left[ 1 + \exp \frac{\mathcal{E} - \mu(\mathbf{r})}{k_B T} \right]^{-1} = \left[ 1 + \exp(P^2 - \alpha(\mathbf{r})) \right]^{-1} = f_{eq}(\mathbf{r}, P)$$

$\mathcal{E} = mv^2/2$  – энергия электронов,  $\mu$  – химический потенциал электронного газа,  $k_B$  – постоянная Больцмана,  $T$  – температура плазмы,  $\mathbf{P} = \mathbf{p}/p_T$  – безразмерный импульс электронов,  $p_T = mv_T$ ,  $v_T$  – тепловая скорость электронов,  $v_T = \sqrt{2k_B T/m}$ ,  $\alpha = \mu/(k_B T)$  – безразмерный химический потенциал,  $k_B T = \mathcal{E}_T = mv_T^2/2$  – тепловая кинетическая энергия электронов.

Ниже нам понадобится абсолютное распределение Ферми–Дирака  $f_0(v)$ ,

$$f_0(v) = \left[ 1 + \exp \frac{\mathcal{E} - \mu}{k_B T} \right]^{-1} = \left[ 1 + \exp(P^2 - \alpha) \right]^{-1} = f_0(P),$$

Будем считать, что в плазме имеется электромагнитное поле, представляющее собой бегущую гармоническую волну:

$$\mathbf{E}_j = \mathbf{E}_{0j} e^{i(\mathbf{k}_j \mathbf{r} - \omega_j t)}, \quad \mathbf{H}_j = \mathbf{H}_{0j} e^{i(\mathbf{k}_j \mathbf{r} - \omega_j t)}, \quad j = 1, 2.$$

Электрическое и магнитное поля связаны между собой через векторный потенциал поля:

$$\mathbf{E}_j = -\frac{1}{c} \frac{\partial \mathbf{A}_j}{\partial t} = \frac{i\omega_j}{c} \mathbf{A}_j, \quad \mathbf{H}_j = \text{rot} \mathbf{A}_j, \quad j = 1, 2.$$

Будем считать, что векторный потенциал электромагнитного поля  $\mathbf{A}_j(\mathbf{r}, t)$  ортогонален волновому вектору  $\mathbf{k}_j$ , т.е.

$$\mathbf{k}_j \cdot \mathbf{A}_j(\mathbf{r}, t) = 0, \quad j = 1, 2.$$

Это значит, что волновой вектор  $\mathbf{k}_j$  ортогонален электрическому и магнитному полям:

$$\mathbf{k}_j \cdot \mathbf{E}_j(\mathbf{r}, t) = \mathbf{k}_j \cdot \mathbf{H}_j(\mathbf{r}, t) = 0, \quad j = 1, 2.$$

Для определенности будем считать, что волновые векторы обеих полей направлены вдоль оси  $x$ , а электромагнитные поля направлены вдоль оси  $y$ , т.е.

$$\mathbf{k}_j = k_j(1, 0, 0), \quad \mathbf{E}_j = E_j(x, t)(0, 1, 0).$$

Следовательно,

$$\mathbf{E}_j = -\frac{1}{c} \frac{\partial \mathbf{A}_j}{\partial t} = \frac{i\omega}{c} \mathbf{A}_j,$$

$$\mathbf{H}_j = \frac{ck_j}{\omega} E_j \cdot (0, 0, 1), \quad [\mathbf{v}, \mathbf{H}_j] = \frac{ck_j}{\omega_j} E_j \cdot (v_y, -v_x, 0),$$

$$E_j = E_j(x, t) = E_{0j} e^{i(k_j x - \omega_j t)} \quad (j = 1, 2),$$

$$e \left( \mathbf{E}_j + \frac{1}{c} [\mathbf{v}, \mathbf{H}_j] \right) \frac{\partial f}{\partial \mathbf{p}} = \frac{e}{\omega_j} E_j \left[ k_j v_y \frac{\partial f}{\partial p_x} + (\omega_j - k_j v_x) \frac{\partial f}{\partial p_y} \right],$$

а также

$$[\mathbf{v}, \mathbf{H}_j] \frac{\partial f_0}{\partial \mathbf{p}} = 0, \quad \text{так как} \quad \frac{\partial f_0}{\partial \mathbf{p}} \sim \mathbf{v}.$$

Уравнение (1.1) может быть переписано в виде

$$\frac{\partial f}{\partial t} + v_x \frac{\partial f}{\partial x} + e \sum_{j=1}^2 \frac{E_j}{\omega_j} \left[ k_j v_y \frac{\partial f}{\partial p_x} + (\omega_j - k_j v_x) \frac{\partial f}{\partial p_y} \right] = 0. \quad (1.2)$$

Будем искать решение уравнения (1.2) в виде

$$f = f_0(P) + f_1 + f_2, \quad (1.3)$$

где

$$f_1 = E_1 \varphi_1 + E_2 \varphi_2, \quad (1.4)$$

$$f_2 = E_1^2 \psi_1 + E_2^2 \psi_2 + E_1 E_2 \psi_0. \quad (1.5)$$

## 2 ПЕРВОЕ ПРИБЛИЖЕНИЕ

Будем действовать методом последовательных приближений, считая малым параметром величину напряженности электрического поля. Тогда уравнение (1.2) с помощью (1.3) эквивалентно следующим уравнениям

$$\frac{\partial f_1}{\partial t} + v_x \frac{\partial f_1}{\partial x} = -e \sum_{j=1}^2 \frac{E_j}{\omega_j} \left[ k_j v_y \frac{\partial f_0}{\partial p_x} + (\omega_j - k_j v_x) \frac{\partial f_0}{\partial p_y} \right] \quad (2.1)$$

и

$$\frac{\partial f_2}{\partial t} + v_x \frac{\partial f_2}{\partial x} = -e \sum_{j=1}^2 \frac{E_j}{\omega_j} \left[ k_j v_y \frac{\partial f_1}{\partial p_x} + (\omega_j - k_j v_x) \frac{\partial f_1}{\partial p_y} \right]. \quad (2.2)$$

Из уравнения (2.1) получаем

$$\begin{aligned} & [E_1(-i\omega_1 + ik_1 v_x)\varphi_1 + E_2(-i\omega_2 + ik_2 v_x)\varphi_2] = \\ & = -e \sum_{j=1}^2 \frac{E_j}{\omega_j} \left[ k_j v_y \frac{\partial f_0}{\partial p_x} + (\omega_j - k_j v_x) \frac{\partial f_0}{\partial p_y} \right]. \end{aligned} \quad (2.3)$$

Введем безразмерные параметры

$$\Omega_j = \frac{\omega_j}{k_T v_T}, \quad q_j = \frac{k_j}{k_T}.$$

Здесь  $q_j$  – безразмерное волновое число,  $k_T = \frac{mv_T}{\hbar}$  – тепловое волновое число,  $\Omega_j$  – безразмерная частота колебаний электромагнитного поля  $\mathbf{E}_j$ .

В уравнении (2.3) перейдем к безразмерным параметрам. В результате получаем уравнение

$$\begin{aligned} & i[E_1(q_1 P_x - \Omega_1)\varphi_1 + E_2(q_2 P_x - \Omega_2)\varphi_2] = \\ & = -\frac{e}{k_T p_T v_T} \sum_{j=1}^2 \frac{E_j}{\Omega_j} \left[ q_j P_y \frac{\partial f_0}{\partial P_x} + (\Omega_j - q_j P_x) \frac{\partial f_0}{\partial P_y} \right]. \end{aligned} \quad (2.4)$$

Заметим, что

$$\frac{\partial f_0}{\partial P_x} \sim P_x, \quad \frac{\partial f_0}{\partial P_y} \sim P_y.$$

Следовательно

$$\left[ q_j P_y \frac{\partial f_0}{\partial P_x} + (\Omega_j - q_j P_x) \frac{\partial f_0}{\partial P_y} \right] = \Omega_j \frac{\partial f_0}{\partial P_y}$$

и уравнение (2.4) упрощается:

$$\begin{aligned} & i[E_1(q_1 P_x - \Omega_1)\varphi_1 + E_2(q_2 P_x - \Omega_2)\varphi_2] = \\ & = -\frac{e}{k_T p_T v_T} (E_1 + E_2) \frac{\partial f_0}{\partial P_y}. \end{aligned} \quad (2.5)$$

Из уравнения (2.5) находим, что

$$\varphi_j = \frac{ie}{k_T p_T v_T} \cdot \frac{\partial f_0 \partial P_y}{q_j P_x - \Omega_j}, \quad j = 1, 2. \quad (2.6)$$

Теперь из уравнения (2.6) находим, что

$$f_1 = \frac{ie}{k_T p_T v_T} \cdot \left[ \frac{E_1}{q_1 P_x - \Omega_1} + \frac{E_2}{q_2 P_x - \Omega_2} \right] \frac{\partial f_0}{\partial P_y}. \quad (2.7)$$

### 3 ВТОРОЕ ПРИБЛИЖЕНИЕ

Перейдем ко второму приближению. В левую часть уравнения (2.2) подставим (1.5).

$$f_2 = E_1^2 \psi_1 + E_2^2 \psi_2 + E_1 E_2 \psi_0.$$

Получим уравнение

$$\begin{aligned} & \left\{ E_1^2 (-2i\omega_1 + 2ik_1 v_x) \psi_1 + E_2^2 (-2i\omega_2 + 2ik_2 v_x) \psi_2 + \right. \\ & \quad \left. + E_1 E_2 [-i(\omega_1 + \omega_2) + i(k_1 + k_2) v_x] \psi_0 \right\} = \\ & = -\frac{eE_1}{\omega_1} \left[ k_1 v_y \frac{\partial f_1}{\partial p_x} + (\omega_1 - k_1 v_x) \frac{\partial f_1}{\partial p_y} \right] - \frac{eE_2}{\omega_2} \left[ k_2 v_y \frac{\partial f_1}{\partial p_x} + (\omega_2 - k_2 v_x) \frac{\partial f_1}{\partial p_y} \right]. \end{aligned}$$

Перейдем в этом уравнении к безразмерным параметрам и введем обозначения

$$q = \frac{q_1 + q_2}{2}, \quad \Omega = \frac{\Omega_1 + \Omega_2}{2}.$$

Получим уравнение

$$\begin{aligned} & 2i \left\{ E_1^2 (q_1 P_x - \Omega_1) \psi_0 + E_2^2 (q_2 - \Omega_2) \psi_2 + E_1 E_2 (q P_x - \Omega) \psi_0 \right\} = \\ & = -\frac{ie^2}{k_T^2 p_T^2 v_T^2} \cdot \frac{E_1}{\Omega_1} \cdot \left\{ q_1 P_y \frac{\partial}{\partial P_x} \left[ \left( \frac{E_1}{q_1 P_x - \Omega_1} + \frac{E_2}{q_2 P_x - \Omega_2} \right) \cdot \frac{\partial f_0}{\partial P_y} \right] + \right. \\ & \quad \left. + (\Omega_1 - q_1 P_x) \frac{\partial}{\partial P_y} \left[ \left( \frac{E_1}{q_1 P_x - \Omega_1} + \frac{E_2}{q_2 P_x - \Omega_2} \right) \cdot \frac{\partial f_0}{\partial P_y} \right] \right\} - \\ & - \frac{ie^2}{k_T^2 p_T^2 v_T^2} \cdot \frac{E_2}{\Omega_2} \cdot \left\{ q_2 P_y \frac{\partial}{\partial P_x} \left[ \left( \frac{E_1}{q_1 P_x - \Omega_1} + \frac{E_2}{q_2 P_x - \Omega_2} \right) \cdot \frac{\partial f_0}{\partial P_y} \right] + \right. \\ & \quad \left. + (\Omega_2 - q_2 P_x) \frac{\partial}{\partial P_y} \left[ \left( \frac{E_1}{q_1 P_x - \Omega_1} + \frac{E_2}{q_2 P_x - \Omega_2} \right) \cdot \frac{\partial f_0}{\partial P_y} \right] \right\}. \end{aligned}$$

Преобразуем предыдущее уравнение

$$\begin{aligned}
& E_1^2(q_1P_x - \Omega_1)\psi_0 + E_2^2(q_2 - \Omega_2)\psi_2 + E_1E_2(qP_x - \Omega)\psi_0 = \\
& = -\frac{e^2}{2k_T^2p_T^2v_T^2} \left\{ \frac{E_1^2}{\Omega_1} \left[ q_1P_y \frac{\partial}{\partial P_x} \left( \frac{\partial f_0/\partial P_y}{q_1P_x - \Omega_1} \right) - \frac{\partial^2 f_0}{\partial P_y^2} \right] + \right. \\
& \quad \left. + \frac{E_2^2}{\Omega_2} \left[ q_2P_y \frac{\partial}{\partial P_x} \left( \frac{\partial f_0/\partial P_y}{q_2P_x - \Omega_2} \right) - \frac{\partial^2 f_0}{\partial P_y^2} \right] + \right. \\
& \quad \left. + \frac{E_1E_2}{\Omega_1} \left[ q_1P_y \frac{\partial}{\partial P_x} \left( \frac{\partial f_0/\partial P_y}{q_2P_x - \Omega_2} \right) + \frac{\Omega_1 - q_1P_x}{q_2P_x - \Omega_2} \cdot \frac{\partial^2 f_0}{\partial P_y^2} \right] + \right. \\
& \quad \left. + \frac{E_1E_2}{\Omega_2} \left[ q_2P_y \frac{\partial}{\partial P_x} \left( \frac{\partial f_0/\partial P_y}{q_1P_x - \Omega_1} \right) + \frac{\Omega_2 - q_2P_x}{q_1P_x - \Omega_1} \cdot \frac{\partial^2 f_0}{\partial P_y^2} \right] \right\}.
\end{aligned}$$

Из этого уравнения находим

$$\psi_1 = -\frac{e^2}{2k_T^2p_T^2v_T^2\Omega_1} \cdot \frac{\Xi_1(\mathbf{P})}{q_1P_x - \Omega_1}, \quad (3.1)$$

$$\psi_2 = -\frac{e^2}{2k_T^2p_T^2v_T^2\Omega_2} \cdot \frac{\Xi_2(\mathbf{P})}{q_2P_x - \Omega_2}, \quad (3.2)$$

$$\psi_0 = -\frac{e^2}{2k_T^2p_T^2v_T^2} \cdot \left[ \frac{1}{\Omega_1} \cdot \frac{\Xi_{12}(\mathbf{P})}{qP_x - \Omega} + \frac{1}{\Omega_2} \cdot \frac{\Xi_{21}(\mathbf{P})}{qP_x - \Omega} \right], \quad (3.3)$$

где

$$\Xi_j(\mathbf{P}) = q_jP_y \frac{\partial}{\partial P_x} \left( \frac{\partial f_0/\partial P_y}{q_jP_x - \Omega_j} \right) - \frac{\partial^2 f_0}{\partial P_y^2},$$

$$\Xi_{12}(\mathbf{P}) = q_1P_y \frac{\partial}{\partial P_x} \left( \frac{\partial f_0/\partial P_y}{q_2P_x - \Omega_2} \right) + \frac{\Omega_1 - q_1P_x}{q_2P_x - \Omega_2} \cdot \frac{\partial^2 f_0}{\partial P_y^2},$$

$$\Xi_{21}(\mathbf{P}) = q_2P_y \frac{\partial}{\partial P_x} \left( \frac{\partial f_0/\partial P_y}{q_1P_x - \Omega_1} \right) + \frac{\Omega_2 - q_2P_x}{q_1P_x - \Omega_1} \cdot \frac{\partial^2 f_0}{\partial P_y^2}.$$

Функция распределения во втором приближении по полю построена и определяется равенством (1.3), в котором функция  $f_1$  определяется равенством (1.4), а функция  $f_2$  определяется равенствами (1.5) и (3.1)–(3.3).

## 4 ПЛОТНОСТЬ ПОПЕРЕЧНОГО ЭЛЕКТРИЧЕСКОГО ТОКА

Найдем плотность электрического тока

$$\mathbf{j} = e \int \mathbf{v} f \frac{2d^3p}{(2\pi\hbar)^3} = \frac{2p_T^3 v_T}{(2\pi\hbar)^3} \int f \mathbf{P} d^3P. \quad (4.1)$$

Из равенств (1.3)–(1.5) и (4.1) видно, что вектор плотности тока имеет две ненулевые компоненты

$$\mathbf{j} = (j_x, j_y, 0).$$

Здесь  $j_y$  – плотность поперечного тока,  $j_x$  – плотность продольного тока,

$$j_y = e \int v_y f \frac{2d^3p}{(2\pi\hbar)^3} = e \int v_y f_1 \frac{2d^3p}{(2\pi\hbar)^3} = \frac{e2p_T^3 v_T}{(2\pi\hbar)^3} \int f_1 P_y d^3P. \quad (4.2)$$

$$j_x = e \int v_y f \frac{2d^3p}{(2\pi\hbar)^3} = e \int v_y f_2 \frac{2d^3p}{(2\pi\hbar)^3} = \frac{e2p_T^3 v_T}{(2\pi\hbar)^3} \int f_2 P_y d^3P. \quad (4.3)$$

Согласно (4.2) в явном виде поперечный ток равен:

$$j_y = \frac{2ie^2 p_T^3}{(2\pi\hbar)^2 k_T p_T} \int \left( \frac{E_1}{q_1 P_x - \Omega_1} + \frac{E_2}{q_2 P_x - \Omega_2} \right) \frac{\partial f_0}{\partial P_y} P_y d^3P. \quad (4.4)$$

Этот ток направлен вдоль электромагнитного поля, его плотность определяется только первым приближением функции распределения.

Второе приближение функции распределения вклад в плотность поперечного тока не вносит.

Упростим формулу (4.4). Заметим, что внутренний интеграл по переменной  $P_y$  равен:

$$\begin{aligned} & \int_{-\infty}^{\infty} P_y \frac{\partial f_0(P)}{\partial P_y} dP_y = \\ & = P_y f_0(P) \Big|_{P_y=-\infty}^{P_y=+\infty} - \int_{-\infty}^{\infty} f_0(P) dP_y = - \int_{-\infty}^{\infty} f_0(P) dP_y. \end{aligned} \quad (4.5)$$

Следовательно, поперечный ток равен:

$$j_y = - \frac{2ie^2 p_T^2}{(2\pi\hbar)^3 k_T} \int \left( \frac{E_1}{q_1 P_x - \Omega_1} + \frac{E_2}{q_2 P_x - \Omega_2} \right) f_0(P) d^3P.$$

Внутренний интеграл в плоскости  $(P_y, P_z)$  вычислим в полярных координатах:

$$\int_{-\infty}^{\infty} \int_{-\infty}^{\infty} f_0(P) dP_y dP_z = \pi \ln(1 + e^{\alpha - P_x^2}). \quad (4.6)$$

Тогда получаем, что

$$j_y = -\frac{2\pi i e^2 p_T^2}{(2\pi\hbar)^3 k_T} \int_{-\infty}^{\infty} \left( \frac{E_1}{q_1 P_x - \Omega_1} + \frac{E_2}{q_2 P_x - \Omega_2} \right) \ln(1 + e^{\alpha - P_x^2}) dP_x. \quad (4.7)$$

## 5 ПЛОТНОСТЬ ПРОДОЛЬНОГО ЭЛЕКТРИЧЕСКОГО ТОКА

Перейдем к исследованию продольного тока (4.3).

С помощью разложения (1.5) представим продольный ток в виде трех слагаемых:

$$j_x = j_1 + j_2 + j_0. \quad (5.1)$$

Здесь

$$\begin{aligned} j_1 &= E_1^2 \frac{2ep_T v_T}{(2\pi\hbar)^3} \int P_x \psi_1 d^3 P, \\ j_2 &= E_2^2 \frac{2ep_T v_T}{(2\pi\hbar)^3} \int P_x \psi_2 d^3 P, \\ j_0 &= E_1 E_2 \frac{2ep_T v_T}{(2\pi\hbar)^3} \int P_x \psi_0 d^3 P. \end{aligned}$$

Представим составляющие продольного тока равенства в явном виде:

$$\begin{aligned} j_1 &= -\frac{e^3 p_T E_1^2}{(2\pi\hbar)^3 k_T^2 v_T \Omega_1} \int \frac{\Xi_1(\mathbf{P}) P_x d^3 P}{q_1 P_x - \Omega_1}, \\ j_2 &= -\frac{e^3 p_T E_2^2}{(2\pi\hbar)^3 k_T^2 v_T \Omega_2} \int \frac{\Xi_2(\mathbf{P}) P_x d^3 P}{q_2 P_x - \Omega_2}, \\ j_0 &= -\frac{e^3 p_T E_1 E_2}{(2\pi\hbar)^3 k_T^2 v_T} \int \left[ \frac{1}{\Omega_1} \frac{\Xi_{12}(\mathbf{P})}{q P_x - \Omega} + \frac{1}{\Omega_2} \frac{\Xi_{21}(\mathbf{P})}{q P_x - \Omega} \right] P_x d^3 P. \end{aligned} \quad (5.4)$$

Заметим, что в этих выражениях одномерный внутренний интеграл по  $P_y$  равен нулю:

$$\int_{-\infty}^{\infty} \frac{\partial^2 f_0}{\partial P_y^2} dP_y = \frac{\partial f_0}{\partial P_y} \Bigg|_{P_y=-\infty}^{P_y=+\infty} = 0,$$

а внутренние интегралы по  $P_x$  вычисляются по частям:

$$\int_{-\infty}^{\infty} \frac{\partial}{\partial P_x} \left( \frac{\partial f_0 / \partial P_y}{q_j P_x - \Omega_j} \right) \frac{P_x dP_x}{q_j P_x - \Omega_j} = \Omega_j \int_{-\infty}^{\infty} \frac{[\partial f_0 / \partial P_y] dP_x}{(q_j P_x - \Omega_j)^3},$$

где  $j = 1, 2$ , и

$$\int_{-\infty}^{\infty} \frac{\partial}{\partial P_x} \left( \frac{\partial f_0 / \partial P_y}{q_j P_x - \Omega_j} \right) \frac{P_x dP_x}{q P_x - \Omega} = \Omega \int_{-\infty}^{\infty} \frac{[\partial f_0 / \partial P_y] dP_x}{(q_j P_x - \Omega_j)(q P_x - \Omega)^2}.$$

Следовательно, предыдущие равенства для составляющих продольного тока упрощаются:

$$\begin{aligned} j_1 &= -\frac{e^3 E_1^2 p_T q_1}{(2\pi\hbar)^3 k_T^2 v_T} \int \frac{P_y (\partial f_0 / \partial P_y) d^3 P}{(q_1 P_x - \Omega_1)^3}, \\ j_2 &= -\frac{e^3 E_1^2 p_T q_2}{(2\pi\hbar)^3 k_T^2 v_T} \int \frac{P_y (\partial f_0 / \partial P_y) d^3 P}{(q_2 P_x - \Omega_2)^3}, \\ j_0 &= j_{12} + j_{21}, \\ j_{12} &= -\frac{e^3 E_1 E_2 p_T q_1 \Omega}{(2\pi\hbar)^3 k_T^2 v_T \Omega_1} \int \frac{P_y (\partial f_0 / \partial P_y) d^3 P}{(q_2 P_x - \Omega_2)(q P_x - \Omega)^2}, \\ j_{21} &= -\frac{e^3 E_1 E_2 p_T q_2 \Omega}{(2\pi\hbar)^3 k_T^2 v_T \Omega_2} \int \frac{P_y (\partial f_0 / \partial P_y) d^3 P}{(q_1 P_x - \Omega_1)(q P_x - \Omega)^2}. \end{aligned}$$

Внутренний интеграл по переменной  $P_y$  проинтегрируем по частям и воспользуемся равенством (4.5). В результате получаем следующие выражения для составляющих слагаемых продольного тока:

$$\begin{aligned} j_1 &= \frac{e^3 E_1^2 p_T q_1}{(2\pi\hbar)^3 k_T^2 v_T} \int \frac{f_0(P) d^3 P}{(q_1 P_x - \Omega_1)^3}, \\ j_2 &= \frac{e^3 E_1^2 p_T q_2}{(2\pi\hbar)^3 k_T^2 v_T} \int \frac{f_0(P) d^3 P}{(q_2 P_x - \Omega_2)^3}, \\ j_0 &= j_{12} + j_{21}, \\ j_{12} &= \frac{e^3 E_1 E_2 p_T q_1 \Omega}{(2\pi\hbar)^3 k_T^2 v_T \Omega_1} \int \frac{f_0(P) d^3 P}{(q_2 P_x - \Omega_2)(q P_x - \Omega)^2}, \\ j_{21} &= \frac{e^3 E_1 E_2 p_T q_2 \Omega}{(2\pi\hbar)^3 k_T^2 v_T \Omega_2} \int \frac{f_0(P) d^3 P}{(q_1 P_x - \Omega_1)(q P_x - \Omega)^2}. \end{aligned}$$

Внутренние интегралы в плоскости  $(P_y, P_z)$  вычислим в полярных координатах и воспользуемся формулой (4.6). В результате предыдущие равенства сводятся к одномерному интегралу:

$$j_1 = \frac{\pi e^3 E_1^2 p_T q_1}{(2\pi\hbar)^3 k_T^2 v_T} \int_{-\infty}^{\infty} \frac{\ln(1 + e^{\alpha - P_x^2}) dP_x}{(q_1 P_x - \Omega_1)^3},$$

$$j_2 = \frac{\pi e^3 E_1^2 p_T q_2}{(2\pi\hbar)^3 k_T^2 v_T} \int_{-\infty}^{\infty} \frac{\ln(1 + e^{\alpha - P_x^2}) dP_x}{(q_2 P_x - \Omega_2)^3},$$

$$j_0 = j_{12} + j_{21},$$

$$j_{12} = \frac{\pi e^3 E_1 E_2 p_T q_1 \Omega}{(2\pi\hbar)^3 k_T^2 v_T \Omega_1} \int_{-\infty}^{\infty} \frac{\ln(1 + e^{\alpha - P_x^2}) dP_x}{(q_2 P_x - \Omega_2)(q_1 P_x - \Omega_1)^2},$$

$$j_{21} = \frac{\pi e^3 E_1 E_2 p_T q_2 \Omega}{(2\pi\hbar)^3 k_T^2 v_T \Omega_2} \int_{-\infty}^{\infty} \frac{\ln(1 + e^{\alpha - P_x^2}) dP_x}{(q_1 P_x - \Omega_1)(q_2 P_x - \Omega_2)^2}.$$

Найдем числовую плотность концентрации частиц плазмы, отвечающую распределению Ферми—Дирака

$$N = \int f_0(P) \frac{2d^3p}{(2\pi\hbar)^3} = \frac{8\pi p_T^3}{(2\pi\hbar)^3} \int_0^{\infty} \frac{e^{\alpha - P^2} P^2 dP}{1 + e^{\alpha - P^2}} = \frac{k_T^3}{2\pi^2} l_0(\alpha),$$

где

$$l_0(\alpha) = \int_0^{\infty} \ln(1 + e^{\alpha - \tau^2}) d\tau.$$

В выражении перед интегралами выделим плазменную (ленгмюровскую) частоту

$$\omega_p = \sqrt{\frac{4\pi e^2 N}{m}}$$

и числовую плотность (концентрацию)  $N$ , причем последнюю выразим через тепловое волновое число. Получим

$$\begin{aligned} \frac{\pi p_T e^3 q_j}{(2\pi\hbar)^3 k_T^2 v_T} &= \frac{e^3 p_T q_j N 2\pi^2}{8\pi^3 k_T^2 v_T p_T^3 l_0(\alpha)} = \\ &= \frac{e \omega_p^2 m q_j v_T}{16\pi k_T^2 v_T^2 p_T^2 l_0(\alpha)} = \frac{e \Omega_p^2}{p_T k_T} \cdot \frac{k_j}{16\pi l_0(\alpha)} = \sigma_{l, tr} \cdot \frac{k_j}{16\pi l_0(\alpha)}. \end{aligned}$$

Здесь

$$\Omega_p = \frac{\omega_p}{k_T v_T} = \frac{\hbar \omega_p}{m v_T^2}$$

– безразмерная плазменная частота,  $\sigma_{l,tr}$  – продольно-поперечная проводимость,

$$\sigma_{l,tr} = \frac{e \hbar}{p_T^2} \left( \frac{\hbar \omega_p}{m v_T^2} \right)^2 = \frac{e}{k_T p_T} \left( \frac{\omega_p}{k_T v_T} \right)^2 = \frac{e \Omega_p^2}{p_T k_T}.$$

Теперь составляющие продольного тока записываются в виде:

$$j_1 = E_1^2 \sigma_{l,tr} k_1 J_1, \quad (5.2)$$

где

$$J_1 = \frac{1}{16\pi l_0(\alpha)} \int_{-\infty}^{\infty} \frac{\ln(1 + e^{\alpha - P_x^2}) dP_x}{(q_1 P_x - \Omega_1)^3},$$

$$j_2 = E_2^2 \sigma_{l,tr} k_2 J_2, \quad (5.3)$$

где

$$J_2 = \frac{1}{16\pi l_0(\alpha)} \int_{-\infty}^{\infty} \frac{\ln(1 + e^{\alpha - P_x^2}) dP_x}{(q_2 P_x - \Omega_2)^3},$$

$$j_0 = E_1 E_2 \sigma_{l,tr} (k_1 J_{12} + k_2 J_{21}), \quad (5.4)$$

где

$$J_{12} = \frac{\Omega}{16\pi l_0(\alpha) \Omega_1} \int_{-\infty}^{\infty} \frac{\ln(1 + e^{\alpha - P_x^2}) dP_x}{(q_2 P_x - \Omega_2)(q P_x - \Omega)^2},$$

$$J_{21} = \frac{\Omega}{16\pi l_0(\alpha) \Omega_2} \int_{-\infty}^{\infty} \frac{\ln(1 + e^{\alpha - P_x^2}) dP_x}{(q_1 P_x - \Omega_1)(q P_x - \Omega)^2}.$$

В равенствах (5.2)–(5.4) величины  $J_1$ ,  $J_2$ ,  $J_{12}$ ,  $J_{21}$  – безразмерные части плотности продольного тока.

Таким образом, продольная часть тока окончательно равна:

$$j_x = \sigma_{l,tr} [E_1^2 k_1 J_1 + E_2^2 k_2 J_2 + E_1 E_2 (k_1 J_{12} + k_2 J_{21})]. \quad (5.5)$$

Если ввести поперечные поля

$$\mathbf{E}_j^{\text{tr}} = \mathbf{E}_j - \frac{\mathbf{k}_j (\mathbf{E}_j \mathbf{k}_j)}{k_j^2} = \mathbf{E}_j - \frac{\mathbf{q}_j (\mathbf{E}_j \mathbf{q}_j)}{q_j^2},$$

то равенство (5.5) можно записать в инвариантной форме

$$\mathbf{j}_{long} = \sigma_{l,tr} [(\mathbf{E}_1^{tr})^2 \mathbf{k}_1 J_1 + (\mathbf{E}_2^{tr})^2 \mathbf{k}_2 J_2 + \mathbf{E}_1^{tr} \mathbf{E}_2^{tr} (\mathbf{k}_1 J_{12} + \mathbf{k}_2 J_{21})].$$

Перейдем к рассмотрению случая малых значений волнового числа. Из выражений (5.2)–(5.4) вытекает, что при малых значениях волновых чисел для плотности продольного тока получаем:

$$j_x = -\frac{\sigma_{l,tr}}{8\pi} \left[ E_1^2 \frac{k_1}{\Omega_1^3} + E_2^2 \frac{k_2}{\Omega_2^3} + 2E_1 E_2 \frac{k_1 + k_2}{\Omega_1 \Omega_2 (\Omega_1 + \Omega_2)} \right].$$

ЗАМЕЧАНИЕ 1. При вычислении интегралов, входящих в безразмерные части плотности продольного тока, следует воспользоваться известным правилом Ландау. Согласно правилу Ландау для интегралов  $J_1$  и  $J_2$  имеем:

$$\begin{aligned} J_j &= \frac{1}{16\pi l_0(\alpha)} \int_{-\infty}^{\infty} \frac{\ln(1 + e^{\alpha - \tau^2}) d\tau}{(q_j \tau - \Omega_j)^3} = \\ &= \frac{1}{16\pi l_0(\alpha)} \left[ -i \frac{\pi}{2q_j^3} \left[ \ln(1 + e^{\alpha - \tau^2}) \right]'' \Big|_{\tau=\Omega_j/q_j} + \right. \\ &\quad \left. + \text{V.p.} \int_{-\infty}^{\infty} \frac{\ln(1 + e^{\alpha - \tau^2}) d\tau}{(q_j \tau - \Omega_j)^3} \right]. \end{aligned} \quad (5.6)$$

Символ V.p. перед интегралом означает, что интеграл понимается в смысле главного значения.

Чтобы воспользоваться правилом Ландау для интегралов  $J_{12}$  и  $J_{21}$  следует разложить подынтегральные дроби на элементарные. Нетрудно вычислить, что

$$\frac{1}{(q_2 \tau - \Omega_2)(q\tau - \Omega)^2} = \frac{a_1}{q_2 - \tau - \Omega_2} + \frac{b_1}{q\tau - \Omega} + \frac{c_1}{(q\tau - \Omega)^2}, \quad (5.7)$$

где

$$\begin{aligned} a_1 &= \frac{4q_2^2}{(q_1 \Omega_2 - q_2 \Omega_1)^2}, \\ b_1 &= -\frac{4q_1 q_2}{(q_1 \Omega_2 - q_2 \Omega_1)^2}, \\ c_1 &= -\frac{2q}{q_1 \Omega_2 - q_2 \Omega_1}. \end{aligned}$$

Аналогично,

$$\frac{1}{(q_1\tau - \Omega_1)(q\tau - \Omega)^2} = \frac{a_2}{q_2 - \tau - \Omega_2} + \frac{b_2}{q\tau - \Omega} + \frac{c_2}{(q\tau - \Omega)^2}, \quad (5.7)$$

где

$$a_2 = \frac{4q_1^2}{(q_1\Omega_2 - q_2\Omega_1)^2},$$

$$b_2 = -\frac{4q_1q_2}{(q_1\Omega_2 - q_2\Omega_1)^2},$$

$$c_2 = \frac{2q}{q_1\Omega_2 - q_2\Omega_1}.$$

На основании приведенных разложений интегралы  $J_{12}$  и  $J_{21}$  согласно правилу Ландау вычисляются следующим образом:

$$J_{12} = \frac{\Omega}{16\pi l_0(\alpha)\Omega_1} \left[ \text{V.P.} \int_{-\infty}^{\infty} \frac{\ln(1 + e^{\alpha - \tau^2}) d\tau}{(q_2\tau - \Omega_2)(q\tau - \Omega)^2} - \right. \\ \left. -i\pi a_1 \ln(1 + e^{\alpha - \Omega_2^2/q_2^2}) - i\pi b_1 \ln(1 + e^{\alpha - \Omega^2/q^2}) + 2i\pi c_1 \frac{\Omega}{q} \frac{e^{\alpha - \Omega^2/q^2}}{1 + e^{\alpha - \Omega^2/q^2}} \right],$$

и

$$J_{21} = \frac{\Omega}{16\pi l_0(\alpha)\Omega_1} \left[ \text{V.P.} \int_{-\infty}^{\infty} \frac{\ln(1 + e^{\alpha - \tau^2}) d\tau}{(q_1\tau - \Omega_1)(q\tau - \Omega)^2} - \right. \\ \left. -i\pi a_2 \ln(1 + e^{\alpha - \Omega_1^2/q_1^2}) - i\pi b_2 \ln(1 + e^{\alpha - \Omega^2/q^2}) + 2i\pi c_2 \frac{\Omega}{q} \frac{e^{\alpha - \Omega^2/q^2}}{1 + e^{\alpha - \Omega^2/q^2}} \right].$$

## 6 ЗАКЛЮЧЕНИЕ

Проведем графическое исследование действительных и мнимых частей плотностей безразмерных "перекрестных" токов  $J_{12}$  и  $J_{21}$ . В случае одного электромагнитного поля в работе [19] было проведено графическое исследование безразмерной части продольного тока. При этом исследовались составляющие безразмерных плотностей тока вида  $J_1$  (или  $J_2$ ). При этом использовались формулы (5.6). Поэтому в настоящей работе будем исследовать "перекрестные" величины  $J_{12}$  и  $J_{21}$ .

На рис. 1, 2 и 5, 6 представлено поведение "перекрестных" токов при значениях величины безразмерного химического потенциала  $\alpha = 2, 0, -5$

в зависимости от безразмерного волнового числа  $q_1$ , при этом  $\Omega_1 = 1, \Omega_2 = 0.5, q_2 = 0.1$ .

На рис. 1 и 2 представлено поведение действительных частей плотностей  $J_{12}$  (рис. 1) и  $J_{21}$  (рис. 2), а на рис. 5 и 6 – мнимых.

На рис. 3 и 4 представим поведение действительных частей плотностей  $J_{12}$  (рис. 3) и  $J_{21}$  (рис. 4) при  $\Omega_1 = 1, q_2 = 0.1$  и при  $\Omega_2 = 0.1, 0.2, 0.3$  в зависимости от безразмерного волнового числа  $q_1$ . На рис. 7 и 8 представим поведение мнимых частей.

Из рисунков 1–4 видно, что плотности "перекрестных" токов имеют один минимум и один максимум, причем с ростом  $q_1$  эти величины стремятся к нулю. С ростом величины химического потенциала (рис. 1 и 2) величина максимума увеличивается, а минимума – уменьшается. С ростом частоты колебаний второго электромагнитного поля величина максимума уменьшается, а величина минимума увеличивается.

Из рис. 5 и 6 видно, что мнимая часть "перекрестных" токов имеет резко выраженный максимум, минимум же наблюдается при переходе к положительным значениям химического потенциала, т.е. с ростом степени вырожденности электронного газа. При этом независимо от величины химического потенциала и при малых и при больших значениях волнового числа  $q_1$  значения мнимых частей плотностей "перекрестных" токов сближаются и в пределе (при  $q_1 \rightarrow 0$  и  $q_1 \rightarrow \infty$ ) совпадают. С ростом химического потенциала величина максимума увеличивается, а минимума – уменьшается.

Из рис. 7 и 8 видно, что с ростом волнового числа  $q_1$  мнимые части  $J_{12}$  независимо от частоты колебаний второго электромагнитного поля  $\Omega_2$  сближаются и при  $q_1 \rightarrow \infty$  совпадают. Для плотности  $J_{21}$  мнимые части всех кривых совпадают и при малых и при больших значениях первого волнового числа.

Отметим также, что мнимые части "перекрестных" токов имеют максимум при всех значениях частоты колебаний второго электромагнитного поля. При уменьшении частоты колебаний первого электромагнитного поля у мнимых частей появляется минимум. При уменьшении частоты колебаний  $\Omega_1$  величина максимума увеличивается, а минимума – уменьшается.

В настоящей работе решена следующая задача: в плазме с произвольной степенью вырождения электронного газа, распространяются две

электромагнитные волны с коллинеарными волновыми векторами. Уравнение Власова решается методом последовательных приближений, считая малыми параметрами одного порядка величины напряженностей соответствующих электрических полей. Используется квадратичное разложение функции распределения.

Оказалось, что учет нелинейности электромагнитных полей обнаруживает генерирование электрического тока, ортогонального к направлению электрического поля (т.е. направлению известного классического поперечного электрического тока). Найдена величина поперечного и продольного электрических токов. Рассмотрен случай малых значений волновых чисел. Проведено графическое исследование так называемых "перекрестных" слагаемых  $J_{12}$  и  $J_{21}$ , составляющих величину плотности продольного электрического тока.

В дальнейшем авторы намерены рассмотреть задачи о колебаниях плазмы и о скин-эффекте с использованием квадратичного по потенциалу разложения функции распределения.

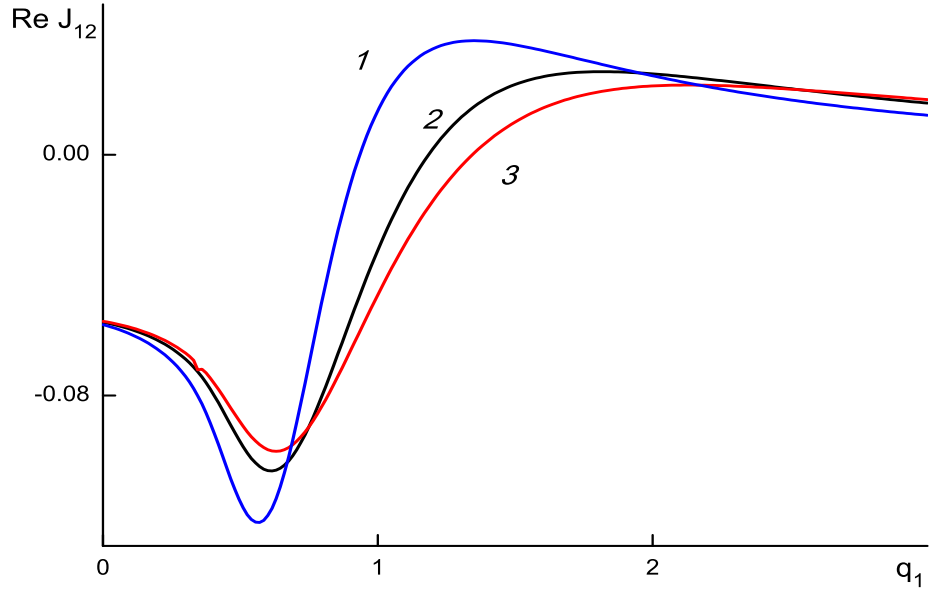


Fig. 1. Real part of dimensionless density of longitudinal "crossed" current  $J_{12}$ ,  $\Omega_1 = 1, \Omega_2 = 0.5, q_2 = 0.1$ . Curves 1, 2, 3 correspond to values of dimensionless chemical potential  $\alpha = 2, 0, -5$ .

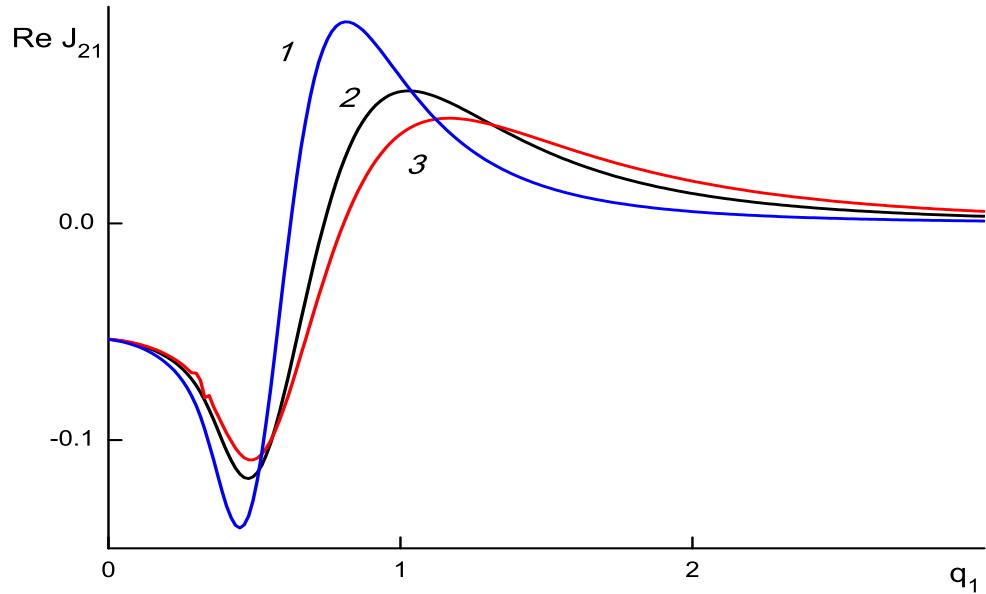


Fig. 2. Real part of dimensionless density of longitudinal "crossed" current  $J_{21}$ ,  $\Omega_1 = 1, \Omega_2 = 0.5, q_2 = 0.1$ . Curves 1, 2, 3 correspond to values of dimensionless chemical potential  $\alpha = 2, 0, -5$ .

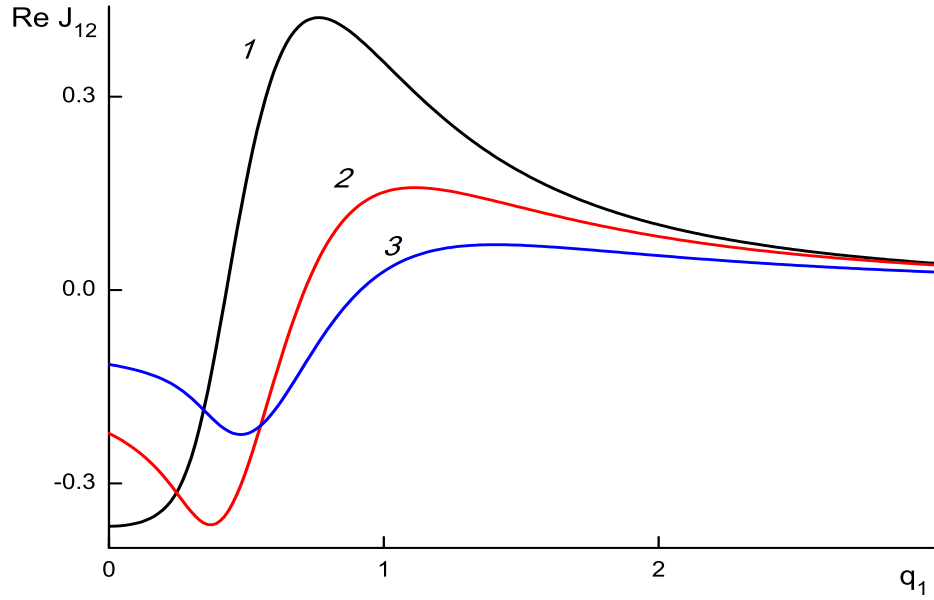


Fig. 3. Real part of dimensionless density of longitudinal "crossed" current  $J_{12}$ ,  $\Omega_1 = 1, q_2 = 0.1$ . Curves 1, 2, 3 correspond to values of dimensionless oscillation frequency of second electromagnetic field  $\Omega_2 = 0.1, 0.2, 0.3$ .

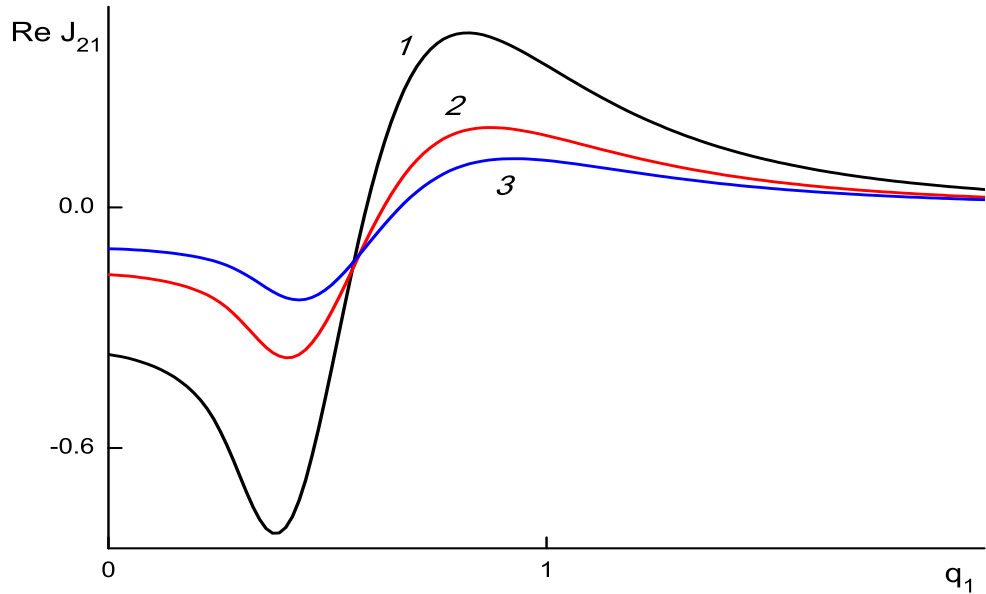


Fig. 4. Real part of dimensionless density of longitudinal "crossed" current  $J_{21}$ ,  $\Omega_1 = 1, q_2 = 0.1$ . Curves 1, 2, 3 correspond to values of dimensionless oscillation frequency of second electromagnetic field  $\Omega_2 = 0.1, 0.2, 0.3$ .

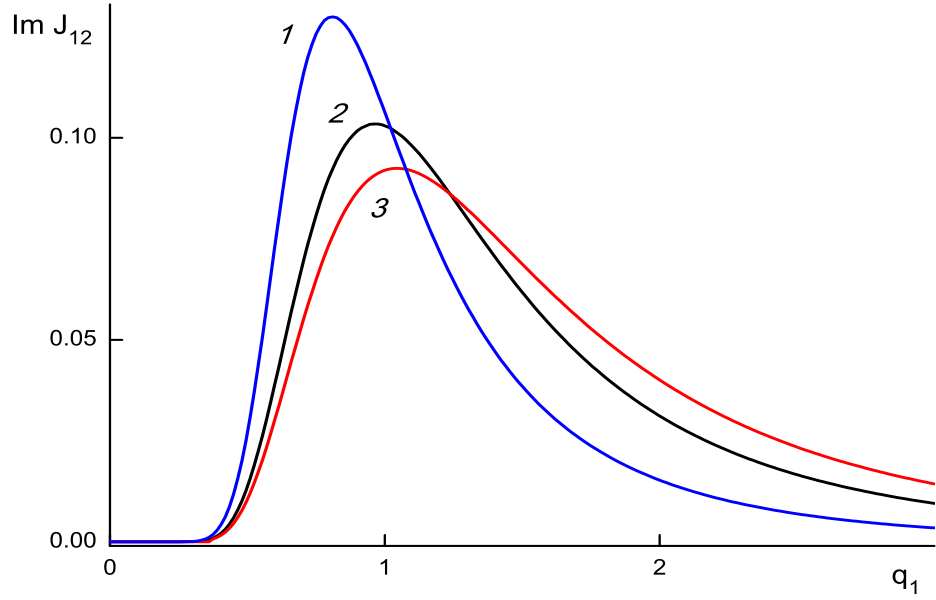


Fig. 5. Imaginary part of dimensionless density of longitudinal "crossed" current  $J_{12}$ ,  $\Omega_1 = 1, \Omega_2 = 0.5, q_2 = 0.1$ . Curves 1, 2, 3 correspond to values of dimensionless chemical potential  $\alpha = 2, 0, -5$ .

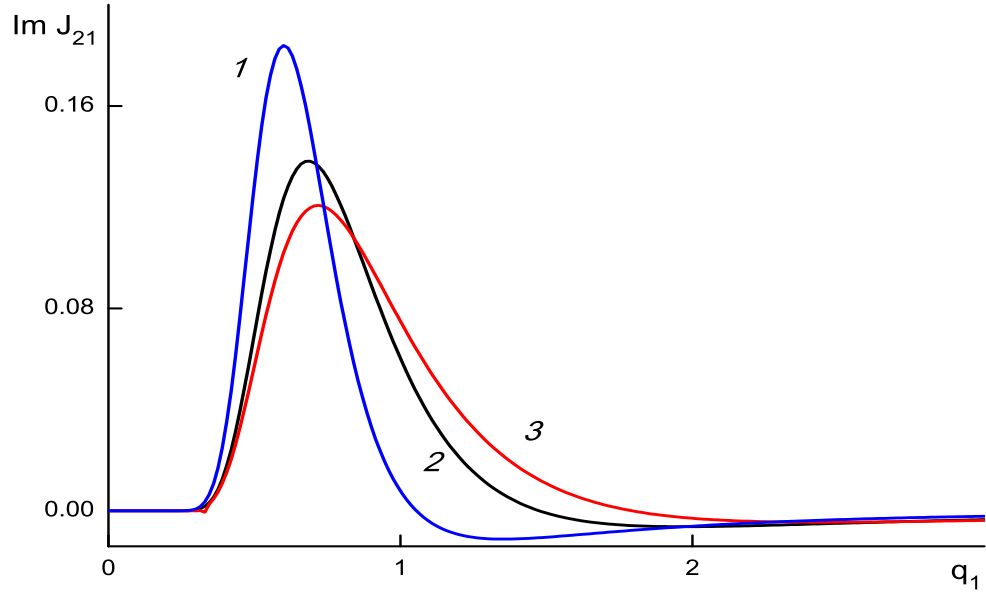


Fig. 6. Imaginary part of dimensionless density of longitudinal "crossed" current  $J_{21}$ ,  $\Omega_1 = 1, \Omega_2 = 0.5, q_2 = 0.1$ . Curves 1, 2, 3 correspond to values of dimensionless chemical potential  $\alpha = 2, 0, -5$ .

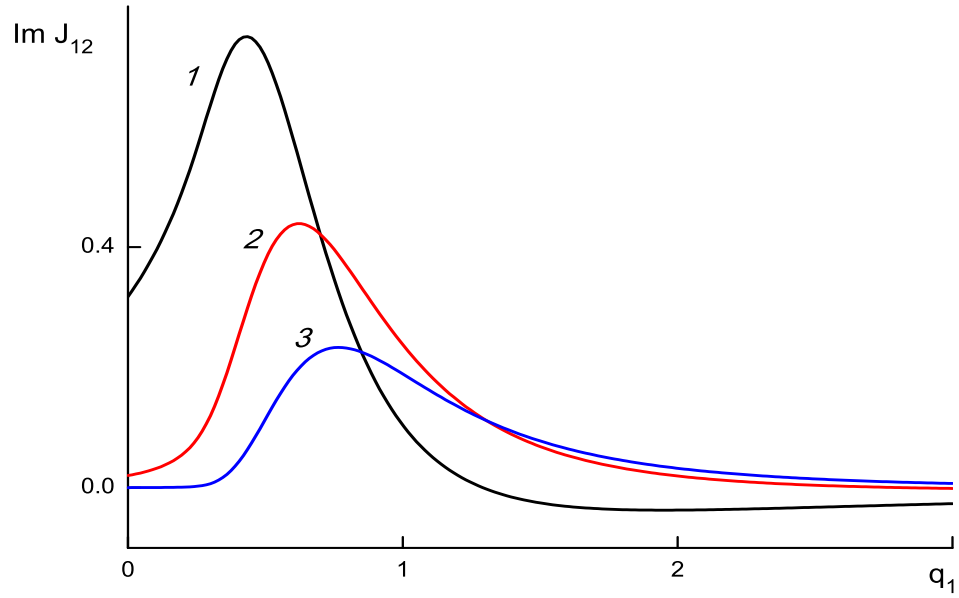


Fig. 7. Imaginary part of dimensionless density of longitudinal "crossed" current  $J_{12}$ ,  $\Omega_1 = 1, q_2 = 0.1$ . Curves 1, 2, 3 correspond to values of dimensionless oscillation frequency of second electromagnetic field  $\Omega_2 = 0.1, 0.2, 0.3$ .

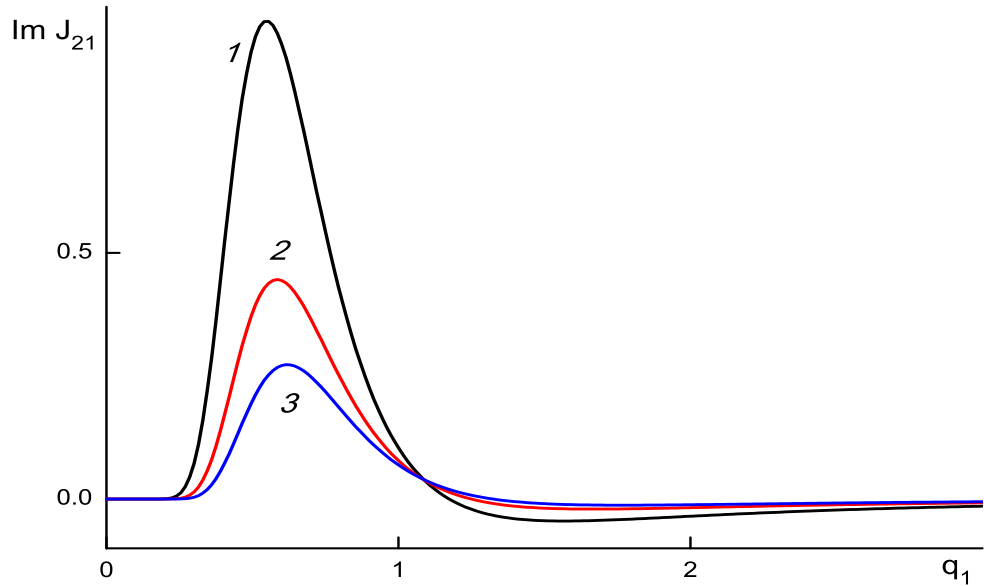


Fig. 8. Imaginary part of dimensionless density of longitudinal "crossed" current  $J_{21}$ ,  $\Omega_1 = 1, q_2 = 0.1$ . Curves 1, 2, 3 correspond to values of dimensionless oscillation frequency of second electromagnetic field  $\Omega_2 = 0.1, 0.2, 0.3$ .

## Список литературы

- [1] *Ginsburg V.L., Gurevich A.V.* The nonlinear phenomena in the plasma which is in the variable electromagnetic field // Uspekhy Fiz. Nauk, **70**(2) 1960; p. 201-246 (in Russian).
- [2] *Kovrizhkhikh L.M. and Tsytovich V.N.* Effects of transverse electromagnetic wave decay in a plasma // Soviet physics JETP. 1965. V. 20. №4, 978-983.
- [3] *Zytovich V.N.* Nonlinear effects in plasmas // Uspekhy Fiz. Nauk, **90**(3) 1966; p. 435-489 (in Russian).
- [4] *Zytovich V.N.* Nonlinear effects in plasmas. Moscow. Publ. Leland. 2014. 287 p. (in Russian).
- [5] *Shukla P. K. and Eliasson B.* Nonlinear aspects of quantum plasma physics // Uspekhy Fiz. Nauk, **53**(1) 2010; [V. 180. No. 1, 55-82 (2010) (in Russian)].
- [6] *Eliasson B. and Shukla P. K.* Dispersion properties of electrostatic oscillations in quantum plasmas // arXiv:0911.4594v1 [physics.plasm-ph] 24 Nov 2009, 9 pp.
- [7] *Latyshev A.V. and Yushkanov A.A.* Transverse Electric Conductivity in Collisional Quantum Plasma // Plasma Physics Report, 2012, Vol. 38, No. 11, pp. 899–908.
- [8] *De Andrés P., Monreal R., and Flores F.* Relaxation–time effects in the transverse dielectric function and the electromagnetic properties of metallic surfaces and small particles // Phys. Rev. **B**. 1986. Vol. 34, №10, 7365–7366.
- [9] *Dressel M. and Grüner G.* Electrodynamics of Solids. Optical Properties of Electrons in Matter // Cambridge. Univ. Press. 2003. 487 p.
- [10] *Gelder van, A.P.* Quantum Corrections in the Theory of the Anomalous Skin Effect // Phys. Rev. 1969. Vol. 187. №3. P. 833–842.
- [11] *Fuchs R. and Kliewer K.L.* Surface plasmon in a semi–infinite free–electron gas // Phys. Rev. B. 1971. V. 3. №7. P. 2270–2278.

- [12] *Brodin G., Marklund M., Manfredi G.* Quantum Plasma Effects in the Classical Regime // Phys. Rev. Letters. **100**, (2008). P. 175001-1 – 175001-4.
- [13] *Manfredi G.* How to model quantum plasmas// Topics in Kinetic Theory (Toronto, Canada, 24-26 March 2004), Fields Inst. Comm. **46**, eds. T. Passot, C. Sulem, P.L. Sulem (Eds), 2005, 263-287; arXiv: quant-ph/0505004.
- [14] *Mermin N. D.* Lindhard Dielectric Functions in the Relaxation–Time Approximation. Phys. Rev. B. 1970. V. 1, No. 5. P. 2362–2363.
- [15] *Latyshev A. V. and Yushkanov A. A.* Transverse electrical conductivity of a quantum collisional plasma in the Mermin approach // Theor. and Math. Phys., **175**(1): 559–569 (2013).
- [16] *Latyshev A. V. and Yushkanov A. A.* Longitudinal Dielectric Permeability of a Quantum Degenerate Plasma with a Constant Collision Frequency// High Temperature, 2014, Vol. 52, №1, pp. 128–128.
- [17] *Latyshev A. V. and Yushkanov A. A.* Longitudinal electric conductivity in a quantum plasma with a variable collision frequency in the framework of the Mermin approach// Theor. and Mathem. Physics, **178**(1): 131-142 (2014).
- [18] *Latyshev A. V. and Yushkanov A. A.* Transverse Permittivity of Quantum Collisional Plasma with an Arbitrary Collision Frequency// Plasma Physics Reports, 2014, Vol. 40, No. 7, pp. 564-571.
- [19] *Latyshev A. V. and Yushkanov A. A.* Generation of the longitudinal current by the transversal electromagnetic field in classical and quantum plasmas//arXiv: 1503.02102 [physics.plasm-ph] 6 Mar 2015, 27 p.
- [20] *Latyshev A. V. and Yushkanov A. A.* Generation of longitudinal electric current by transversal electromagnetic field in Maxwellian plasmas// arXiv: 1503.04478 [physics.plasm-ph] 15 Mar 2015, 18 p.
- [21] *Latyshev A. V. and Yushkanov A. A.* Generation of longitudinal electric current by the transversal electromagnetic field in classical and quantum plasma// arXiv:1503.08700v1 [physics.plasm-ph] 30 Mar 2015, 26 p.